

**ИССЛЕДОВАНИЕ ПРИРОДЫ ЖЕСТКОГО ПАРАМЕТРИЧЕСКОГО
ВОЗБУЖДЕНИЯ ЯДЕРНЫХ СПИНОВЫХ ВОЛН В
АНТИФЕРРОМАГНИТНОМ CsMnF_3**

A.B.Андреенко

Институт атомной энергии им. И.В.Курчатова
123182, Москва

Поступила в редакцию 3 марта 1992 г.

Модуляционным методом измерены скорости релаксации ядерных магнонов, соответствующие порогам появления (h_{c1}) и исчезновения (h_{c2}) параметрических магнонов. Установлено, что пик в пороге h_{c1} на частоте накачки $\nu_p \approx 780$ МГц обусловлен резонансным поглощением магнонов дефектами, имеющими частоту перехода $\nu_d \approx 390$ МГц, а явление жесткого возбуждения обусловлено выключением этого механизма релаксации при насыщении переходов с частотой $\nu_p/2$.

Жесткий характер параметрического возбуждения ядерных спиновых волн (ЯСВ) был открыт в¹ при исследовании антиферромагнетика CsMnF_3 . Явление жесткости заключается в существовании двух пороговых полей h_{c1} и h_{c2} ($h_{c1} > h_{c2}$), первое из которых соответствует появлению параметрических ЯСВ, а второе - их исчезновению. Исследования параметра жесткости $\zeta = (h_{c1}/h_{c2}) - 1$ показали², что зависимость ζ от частоты накачки ν_p имеет явно выраженный резонансный характер, причем положение пика, не зависит от температуры и магнитного поля. Объяснить жесткость можно зависимостью от числа ЯСВ либо коэффициента связи с полем накачки V , либо скорости их релаксации Γ . Во втором случае достаточно предположить, что с ростом числа параметрических ЯСВ какой-то канал их релаксации насыщается и величина Γ уменьшается. При этом, физическим параметром, характеризующим жесткость, является не ζ , а выключающаяся часть релаксации $\Delta\Gamma = (h_{c1} - h_{c2})V$.

Параметрические ЯСВ возбуждались параллельной СВЧ накачкой с частотой $\nu_p = 650 - 950$ МГц. Регистрация параметрических ЯСВ осуществлялась по сигналу "модуляционного отклика" образца¹.

Сначала изучалось влияние поля $H_m \cos \omega_m t$, модулирующего спектр ЯСВ, на пороги h_{c1} и h_{c2} . Это влияние при условии $\bar{H}_m \parallel \bar{H}$, $\nu_p \gg \nu_m > 2\Gamma$ и $(h_c/h_{c0} - 1) \ll 1$ описывается следующим выражением^{3,4}:

$$h_c/h_{c0} - 1 = 4V^2 H_m^2 [\nu_m^2 + 4\Gamma^2]^{-1}.$$

Здесь h_{c0} - пороговое поле в отсутствие модуляции, h_c - при наличии модуляции. Исследуя влияние модуляции на пороги h_{c1} и h_{c2} можно определить V и Γ , соответствующие обоим порогам. Отметим, что максимум зависимости $(h_c/h_{c0} - 1)$ от ν_m наблюдается при $\nu_m \sim 2\Gamma$ ⁴, что позволяет оценить величину Γ , соответствующую обоим порогам накачки без подробного исследования всей кривой.

Эксперименты показали, что влияние H_m на пороги h_{c1} и h_{c2} различается, причем различие усиливается с ростом ζ . Измеренные этим методом коэффициенты V для двух порогов совпадают с точностью до ошибки эксперимента, зато наблюдается сильное различие значений релаксации $\Gamma_1 = h_{c1}V$ и $\Gamma_2 = h_{c2}V$. На рис.1 приведены экспериментальные результаты для относительного увеличения порогов h_{c1} и h_{c2} в условиях большой жесткости. Колossalное отличие в величине влияния модуляции на пороги h_{c1} и h_{c2} и в положении максимумов соответствуют скоростям релаксации, рассчитанным по

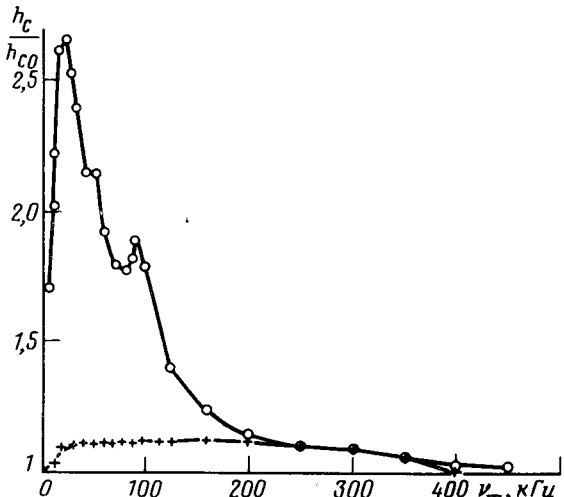


Рис.1.

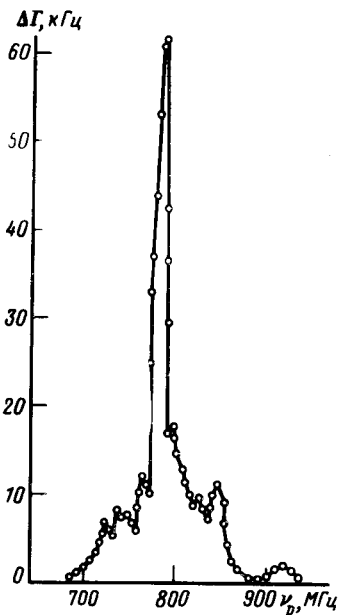


Рис.2.

Рис.1. Влияние модуляции на пороги накачки в области большой жесткости $h_{c10}/h_{c20} = 5, 65$. $\nu_p = 778, 7 \text{ МГц}$, $T = 1, 76 \text{ К}$, $H = 1, 08 \text{ кЭ}$. $\circ - h_{c2}$, $+ - h_{c1}$

Рис.2. Частотная зависимость выключающейся части релаксации в CsMnF_3 . $T = 1, 86 \text{ К}$, $H = 0, 8 \text{ кЭ}$

двум пороговым полям h_{c10} и h_{c20} : $\Gamma_1 = (60 \pm 15) \text{ кГц}$, $\Gamma_2 = (9 \pm 2, 2) \text{ кГц}$. Следовательно, жесткость обусловлена уменьшением скорости релаксации ядерных магнонов при их параметрическом возбуждении, причем изменение параметров жесткости от образца к образцу указывает на то, что этот вклад в затухание обусловлен взаимодействием ЯСВ с дефектами.

Затем были исследованы частотная, полевая и температурная зависимости выключающейся части релаксации ЯСВ. На рис.2 приведена частотная зависимость $\Delta\Gamma$ в одном из образцов CsMnF_3 при фиксированном значении H . В рамках рассматриваемой модели, ширина пиков на зависимости $\Delta\Gamma(\nu)$ может соответствовать скорости релаксации дефектов или их распределению по частоте. На рис. 3 показана температурная зависимость $\Delta\Gamma$ в максимуме жесткости. С ростом температуры выключающаяся часть релаксации сначала растет, затем при $T \approx 3, 5 \text{ К}$ проходит через максимум. От магнитного поля $\Delta\Gamma$ зависит слабо.

Если полагать, что вклад $\Delta\Gamma$ обусловлен резонансным поглощением ЯСВ дефектами с частотой ν_d , то можно попытаться выключить этот канал релаксации дополнительным СВЧ излучением с частотой $\nu_3 = \nu_d$. В связи с этим был поставлен эксперимент, в котором одновременно с основной накачкой на образец подавалась зондирующая $h_3 \cos \omega_3 t$, для которой $\vec{h}_3 \perp \vec{H}$. При выполнении условия $\nu_3 = \nu_p/2$ вторая накачка существенно влияла на порог h_{c1} . Это влияние начиналось при амплитудах $h_3 \sim 3 \cdot 10^{-4} h_{c1}$. С ростом мощности зондирующей накачки P_3 порог h_{c1} падал, стремясь к значению h_{c2} , то есть вклад $\Delta\Gamma$ уменьшался до нуля, рис.4. Влияние зондирующего излучения на порог h_{c2} не наблюдалось. При смещении частоты ν_3 относительно $\nu_p/2$ влияние на порог h_{c1} быстро уменьшается. Ширина этой линии характеризует собственную скорость релаксации дефекта: $\Delta\nu_d(4, 2 \text{ К}) \approx 20 \text{ кГц}$, $\Delta\nu_d(1, 5 \text{ К}) \approx 10 \text{ кГц}$. Эти величины на два порядка меньше, чем ширина

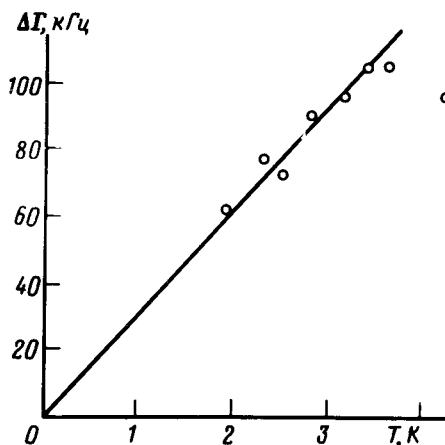


Рис.3.

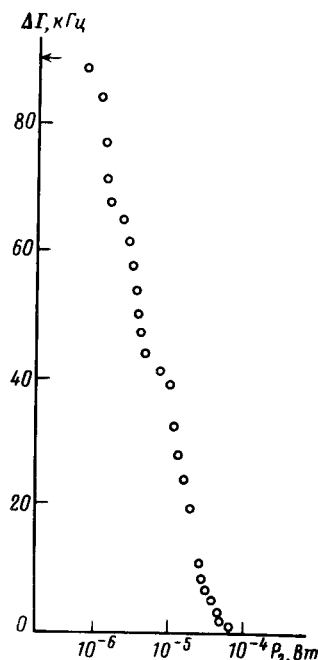


Рис.4

Рис.3. Температурная зависимость выключающейся части релаксации $\Delta\Gamma$; $H = 670$ Э, $\nu_p = 780$ МГц
Рис.4. Зависимость выключающейся части релаксации от мощности зондирующей накачки с частотой $\nu_3 = \nu_p/2 = 391,00$ МГц; $T = 4, 2$ К, $H = 750$ Э. Стрелкой указано значение $\Delta\Gamma$ при $P_3 = 0$

пиков на рис.2, которая, по-видимому, отражает распределение дефектов по частоте.

В заключение обсудим природу изучаемых дефектов. В⁵ полагалось, что жесткость ЯСВ связана с нестехиометрией кристалла - избытком атомов Mn. В данной работе мы провели измерения жесткости в нескольких образцах с нарушенной стехиометрией. Оказалось, что избыток любого из элементов: Mn, Cs или F не оказывает существенного влияния ни на частоту, ни на величину пика $\Delta\Gamma$ в релаксации ЯСВ. При этом шлифование образца позволило увеличить выключающуюся часть релаксации приблизительно в два раза, что вероятно связано с ростом числа дислокаций в кристалле. Таким образом наши результаты подтверждают выводы работ^{2,6,7}, где основными дефектами, влияющими на релаксацию магнонов в $CsMnF_3$, полагались дислокации.

-
1. А.В.Андринко, В.И.Ожогин, В.Л.Сафонов, А.Ю.Якубовский, ЖЭТФ **84**, 1158 (1983).
 2. А.В.Андринко, В.И.Ожогин, В.Л.Сафонов, А.Ю.Якубовский, УФН **161**, N10, 1 (1991).
 3. В.В.Зауткин, В.С.Львов, Б.И.Орел, С.С.Старобинец, ЖЭТФ **72**, 272 (1977).
 4. А.В.Андринко, В.И.Ожогин, В.Л.Сафонов, А.Ю.Якубовский, ЖЭТФ **89**, 2164 (1985).
 5. А.В.Андринко, В.И.Ожогин, В.Л.Сафонов, А.Ю.Якубовский, ЖЭТФ **87**, 1509 (1984).
 6. Ю.М.Буньков, В.В.Дмитриев, В.Л.Сафонов, ФТТ **27**, 2004 (1985).
 7. А.В.Андринко, ЖЭТФ **100**, 1358 (1991).